

# 창 립

40주년학술대회

논문 87-J-20-2

3상 전압형 인버터를 구동하기 위한 SHE PWM의 최적 스위칭 패턴

이은종 안양대학교 · 정동화 안양대학교 ·

김혁주 \*

Optimal Switching Pattern of SHE PWM for drive  
Three Phase Voltage Type Inverter

Yeon Jong Lee Hanyang Uni. Dong Wha Chung Han Yang Uni.

Kim Hyenk Ju "

This paper is proposed the optimal switching pattern of selected harmonic elimination ( SHE PWM ). It defined harmonic elimination band ( HEB ) to find the solution of Constant Voltage ( CV ), and sought all solutions which we are included HEB. Then, it calculated generalised klirr factor ( GKF ) by this solution and decided optimal switching pattern is used as initial conditions of newton raphson ( NR ) method to decide switching pattern at variable voltage ( VV ).

This strategy is applied to 1HP three phase induction motor. From the result, the validity of theoretical proposition can be verified.

## 1. 서론

PWM 인버터는 직류전압을 일정하게 유지하여 가변전압, 가변주파수의 출력을 얻을 수 있으며, 출력에 포함되는 고주파 성분을 제거 또는 감소 시킬 수 있는 등의 잇점 때문에 최근, 고류 전동 기의 주파수 제어 등에 많이 적용되어지고 있다.<sup>1)~2)</sup>

PTR (Power Transistor) 등의 자기소·오·능력을 갖는 소자를 이용한 PWM인버터 등의 외로에 응용할 경우, 자기소·오·능력을 갖지 않는 일반 싸이리스터 외로와 비교하여 전류외로가 필요하지 않으므로, 외로가 간단하고 고주파화가 가능하며, 또한 영구 단락이 없으므로, 외로동작내의 잠금 특성도 개선될 수 있어 소형·경량·고효율 및 고성능도 가능하다. 마이크로·프로세서 등을 이용한 디지털 제어 기술의 발전으로, 비교적 소용량 분야에는 PTR을 이용한 PWM인버터가 싸이리스터를 이용한 것 보다 많이 적용되어지고 있다.<sup>3)</sup>

그러나, 인버터는 PTR 등의 스위칭작용으로 고주파가 포함되어 부아인 전동기에 고·조·파·손·실·도·오·크·액·동·전·자·기·적·잠·음·및·액·동·등·의·문·제·를·야·기·시·민·다.<sup>4)</sup>

이를 해결하기 위하여 종래의 Natural Regular PWM<sup>5)</sup> 및 최적화 기준에 의한 SHE(Selected Harmonic Elimination), Optimal PWM<sup>6)</sup> 등이 연구되어 왔다.

이중 SHE PWM은 인버터 스위칭수 M을 증가 시킴에 따라 제거시킬 수 있는 고주파도 증가하기 때문에 전동 기의 저속운전 범위에서는 유익한 방식이었으나 전동 기의 고속 범위에서는 인버터의 한계 스위칭 주파수 내에서 안정운전을 하기 위하여 스위칭수를 감소·시키게 되는데 이때 제거되는 고주파 수도 매우 적어지게 되어 전동 기에 고주파의 영향을 미치게 된다.

그리고, 스위칭 패턴을 결정하는 방정식을 NR (Newton-Raphson)법으로 해를 구하였고, 알 때 초기값의 결정이 매우 어렵고, 계산시간도 많이 소요된다.<sup>7)</sup> 계산시간 문제를 해결하기 위하여 근사 SHE<sup>8)</sup> 방식이 연구되어 마이크로·프로세서의 On Line, Real time<sup>9)</sup> 가능하지만 결과의 해가 균사해이기 때문에 약간의 오차가 나타나게 된다.

본 연구는 SHE PWM의 정밀한 최적 스위칭 패턴의 한 방식으로 CV(Constant Voltage)에서 HEB(Harmonic Elimination Band)를 정하여 이 HEB에 속하는 모든 해를 구한 다음, 이 해에 해당하는 GKF(Generalized Klirr Factor)를 계산하여 GKF가 최소가 되는 최적 스위칭 패턴을 결정하였다. 이때 계산된 최적 스위칭 패턴의 해를 Nr 법의 초기값으로 하여 VV(Variable Voltage)의 스위칭 패턴을 용이하게 결정할 수 있도록 하였다.

이러한 이론적 제안의 타당성을 입증하기 위하여 PTR로 구성된 인버터를 설계하여 1(HP) 3상 유도·전동기를 가변속 운전시켜 보았다. 이 때 나타나는 결과들을 비교·분석하여 제시하였다.

### 3 상 전압형 인버터를 구동하기 위한 SHE PWM의 최적 스위칭 패턴

#### 2. SHE PWM의 최적 스위칭 패턴

SHE PWM은 저차 고조파를 선정하여 선정된 고조파를 제거하여 스위칭 패턴을 결정하는 방식으로 CV(Constant Voltage)와 VV(Variable Voltage)가 있다. CV는 전압이 일정하여 자유도가 M으로 M개의 고조파를 제거하여 VV는 전압이 변화되며 (M-1)개의 고조파를 제거한다.

##### 2.1 SHE PWM의 비선형 방정식의 해법

그림 1은 인버터의 상전압을  $\frac{\pi}{2}$ 에 대해 대칭인 반파대칭으로 가정하여 여기서 폴스의 크기는  $+U_d$ 이고 스위칭각은  $0\sim\frac{\pi}{2}$ 사이의 스위칭각  $i = 1, 2, \dots, M$ 이며 다음 조건을 만족한다.

$$0 < d_1 < d_2 < \dots < d_M < \frac{\pi}{2} \quad (1)$$

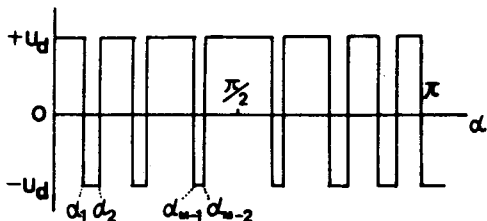


그림 1 인버터의 PWM 패턴  
Fig.1 PWM Waveform of Inverter

그림 1의 인버터의 상전압을 Fourier 금수로 전개하여 고조파전압의 크기를 구하면 식(2)와 같다.

$$\begin{aligned} U(k) &= \frac{4}{\pi} \int_0^{\frac{\pi}{2}} u(\alpha) \sin k \alpha d\alpha \\ &= \frac{4U_d}{k\pi} \left[ 1 + 2 \sum_{i=1}^M (-1)^i \cos k d_i \right] \quad (2) \end{aligned}$$

CV에서

1/4주 기당 스위칭수 M에 대해 M개의 고조파를 제거(Zero)한 방정식은 다음과 같다.

$$f_n(\alpha) = 1 + 2 \sum_{i=1}^M (-1)^i \cos k_n \alpha_i = 0 \quad (3)$$

여기서  $n = 1, 2, \dots, M$ 이다.

VV를 구하기 위하여 Hamilton 연산자 H를 다음과 같이 정의한다.

$$H(\alpha, \lambda) = U_1(\alpha) + \lambda^T f(\alpha) \quad (4)$$

여기서  $\lambda = [\lambda_1, \lambda_2, \dots, \lambda_{M-1}]$

M-1 고조파분을 제거하고  $U_1$ 을 최대로 하는 필요충분조건은 식(3)과 식(5)로 부터 구할 수 있다.

$$H_\alpha(d, \lambda) = \left[ \frac{\partial H}{\partial d_1}, \frac{\partial H}{\partial d_2}, \dots, \frac{\partial H}{\partial d_M} \right]^T = 0 \quad (5)$$

M-1 고조파분을 제거시키고  $U_1$  변화에 대한 스위칭 패턴을 결정하기 위한 NR반복식은 다음과 같다.

$$\begin{pmatrix} d_1 \\ d_2 \\ \vdots \\ d_M \end{pmatrix}_{p+1} = \begin{pmatrix} \alpha_1 \\ \alpha_2 \\ \vdots \\ \alpha_M \end{pmatrix} - \begin{pmatrix} \frac{8}{\pi} \begin{pmatrix} +\sin \alpha_1, -\sin \alpha_2, \dots, \pm \sin \alpha_M \\ +\sin k_1 d_1, -\sin k_2 d_2, \dots, \pm \sin k_M d_M \end{pmatrix} \\ \vdots \\ \vdots \end{pmatrix} \begin{pmatrix} U_1 \\ U_2 \\ \vdots \\ U_M \end{pmatrix} \quad (6)$$

CV에서 NR방정식의 해를 구하려고 할 때 초기값에 따라 몇몇 해를 얻을 수 있는데 이 중 GKF가 최소가 될 수 있는 조건에서 HEB(Harmonic Elimination Band)를 정하여 HEB에 속하는 범위내의 해만 구한다.

그림 2에서 M=3 일 때 GKF의 변화값을 나타낸 것이며 HEB가 범위내에 존재하게 되면 이 범위에 속하는 스위칭 패턴의 해를 구한다.

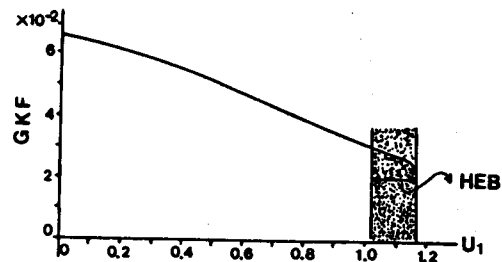


그림 2 M=3에서 U1 변화에 대한 GKF  
Fig.2 U1 versus GKF value at M=3

그림 3은 CV와 VV 애의 관계를 나타낸다. 그림으로 HEB에 속하는 모든 해를 구한 결과이다.

그림 3에서 CV(M=2)의 해는 dot(·), Cross (X)로 표시되었고 VV(M=3)의 해는 점선과 실선으로 표시하였다. CV 애(M=2)는 VV 애의 초기값이 될 수 있으므로 이를 일반화하여 CV 애(M=M-1)은 VV 애(M=M-1)의 모든 초기값이 된다.

이 초기 조건이 구해지면 VV 의 NR 반복식(b) 은 쉽게 해를 구할 수 있다.

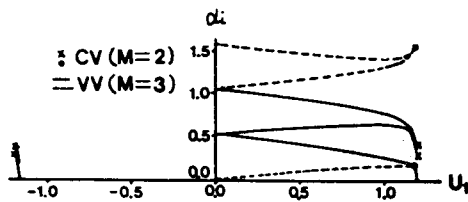


그림 3. CV와 VV의 해의 관계  
Fig.3 Relation between CV and VV solutions

## 2.2 고조 막론 해석을 위한 SHE 최적스위칭 패턴

전압제어에 의해 일반화 해를 평가하는 SHE 최적 필수 패턴은 제 K 차 고조 막의 평가 아종을  $G(K)$  라고 할 때 선정 기본 파형  $U$ 에서 제이조 건으로 다음과 같은 GKF(Generalized Klirr Facto) 비선형 최소화 문제의 해를 구할 수 있다.

$$U(I) - U = 0 \quad (6)$$

$$GKF = \sqrt{ \sum_{K=3,5,\dots} \left\{ \frac{G(K)U(K)}{G(I)UU} \right\}^2 } \quad (7)$$

이 식에 대한 제약 조건을 갖는 최소화 문제는 Lagrange 계수를 이용하여 유도할 수, 있으나 이를 절이형식으로 변형하면 Lagrange 계수는 다음과 같다.

$$\hat{d} = \sum_{K=3,5,\dots} \left[ \left\{ G(K)U(K) \right\}^2 - \lambda (UU) - U \right] \quad (8)$$

최적 해를 얻는 조건은 다음과 같다.

$$\begin{aligned} \frac{\partial \hat{d}}{\partial d_i} &= 2 \sum_{K=3,5} G(K) \frac{\partial U(K)}{\partial d_i} G(K)U(K) - \lambda \frac{\partial U}{\partial d_i} = 0 \\ \frac{\partial \hat{d}}{\partial \lambda} &= -U(I) + U = 0 \end{aligned} \quad (9)$$

그림 4에서 표시한 회로에 대해서 제 K 차 고조 막의 일반화 아종 계수를 구해본다. 부 악 2단자에 대해 전 회로의 접점수에 단자 번호 i 와 j 를 하면 아종 계수  $\alpha(K)$  는 부 악 전류 이득을 고려할 때 PWM 전연을 전압원으로 하여  $U_K, U(K)$  를 각 단자 i, j 의 전압이라면 다음과 같다.

$$G(K) = | U_i(K) - U_j(K) | \quad (10)$$

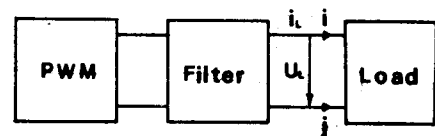


그림 4. PWM 의 회로 모델  
Fig.4 PWM Circuit Model

2.1 절에서 HEB 내에서 구한 모든 스위칭 패턴의 결과를 식(7)에 대입하여 (7)의 GKF 가 최소 가되는 아날로그 스위칭 패턴을 결정한다.

## 3. 결론

본 연구는 SHE PWM에서 정확한 스위칭 패턴을 결정하기 어려웠던 방식을 CV에서 HEB 정하여 이 HEB에 속하는 모든 이를 구한 다음 이 애에 해당하는 GKF를 최적화 기법에 의해 최적스위칭 패턴을 정밀하게 계산하였다.

본 이론에 의해 SHE PWM의 최적화를 효율적으로 구할 수 있을 뿐만 아니라 계산 시간도 매우 단축되는 효과도 얻을 수, 있었으며, 고주파수 위 PTR에 적용 가능하며 실제 실험을 통하여 만족할만한 결과로 얻을 수 있었다.

4. 참고 문헌

- 1) J.Zubek,A.Abbondanti & C.J.Norby,"Pulse Width Modulated Inverter Motor Drives with Improved Modulation" IEEE Trans. Ind. Applic., IA-11, Nov.1 Dec.,695,1975
- 2) G.B.Kliman & A.B.Plunkett, "Development of a Modulation strategy for a PWM Inverter Drive",IEEE Trans., Ind.Applic., IA-15, Jan. Fed. 72,1979.
- 3) 水谷.-バイオードランジスターの 大容量 インバータへの 应用.  
昭 58 電気学会全大. 3-6-3
- 4) 小田幸, 中 正之."高調波影響の低減",電気学会誌,  
103巻(9号) pp.887-890,th 58-9
- 5) A.A.Schonung and H.Stemmler, "Static frequency Changers With 'Subharmonic' Control in Conjunction with reversible variable-speed AC drive",Brown Boveri Rev. 1964
- 6) Bowes, S.R.etal, "New sinusoidal pulse width modulated inverter.",Proc.IEE,Vol. 122, No 11, November, 1975, PP.1279-1285
- 7) Patel H.S. and Hoft R.F., "Generalized techniques of harmonic elimination and voltage control in thyristor inverter : Part I-Harmonnic elimination.",IEEE Trans., IA-9, PP. 310-317,1973
- 8) Patel H.S. and Hoft R.F., "Generalized techniques of harmonic elimination and voltage control in thyristor inverter : part Voltage control techniques.", IEEE Trans., IA-10, PP. 666-673, 1974
- 9) 이운종·정동학, "Optimal PWM 방식에 의한  
가변속 유도 전동기의 소음 및 진동 저감  
연구", 대안전기학회지 Vol. 36, No. 2 PP  
-34, 1987
- 10) 정동학, "3상 유도 전동기의 고조파 영향  
을 최소화 하기 위한 인버터의 최적 스위  
칭 방식", 안양대학교 대학원, 박사학위 논  
문 1987. 6